

交通系統中等专业学校試用教材

船舶透平

黑龙江交通学院 编



人民交通出版社

交通系統中等专业学校試用教材

船舶透平

(河船輪机管理专业用)

黑龙江交通学院 编

人民交通出版社

本書是根据交通部1959年在大連召开的交通系統院校教學會議通过的船舶机械类各专业船舶透平試行教學大綱，由黑龍江交通学院輪機科編寫，付予同志具体執筆的。

本書內容簡要，以期在有限的篇幅里，使讀者对船舶透平能獲得一个比較概括的、基本的認識。本書包括理論和結構两部分：前一部分除着重分析了气流在透平叶栅中的流动原理外，并对各项损失的物理本質、流程实验的基本概念以及船舶透平的变动工况和速度特性等作了必要的闡述。后一部分列举了船舶透平的主要零件、操纵和調節设备，并重点介紹了一些大、中、小、重、輕型船舶主輔机蒸汽透平和燃气透平的典型結構。

本書可作为交通及造船学校船舶机械专业的教材，并可供同性質的高等学校學員以及从事工业透平的工程技术人员参考之用。

交通系統中等专业學校試用教材

船 舶 透 平

黑龍江交通学院 編

※

人 民 交 通 出 版 社 出 版

(北京安定門外和平里)

北京市書刊出版業營業許可証出字第〇〇六号

新华书店科技发行所发行 全国新华书店經售
人 民 交 通 出 版 社 印 刷 厂 印 刷

※

1961年4月北京第一版 1961年4月北京第一次印刷

开本：787×1092^{1/16} 印張：8^{1/2}張 插頁6

全書：158,000字 印數：1—2,560 冊

統一書號：15044·8195

定价(10)：1.35元

目 录

引 言 1

第一篇 透平原理

第一章 初步概念	5
§ 1 船舶透平装置的类型	5
§ 2 船舶透平的結構特点	6
§ 3 透平的工作原理	7
第二章 工質在透平級中的流动原理	9
§ 4 工質在导向器中的流动	9
§ 5 工質在工作葉片中的流动	15
§ 6 單級透平与多級透平	22
§ 7 軸流式透平葉片的定型	26
第三章 透平的損失及效率	33
§ 8 透平損失的种类	33
§ 9 管閥中的損失	33
§ 10 葉型損失	35
§ 11 端部損失	36
§ 12 部分进气(汽) 損失	37
§ 13 轉輪摩擦損失	39
§ 14 濕汽損失	40
§ 15 葉柵軸向和徑向間隙中的損失	41
§ 16 葉片的冷却損失	42
§ 17 曲徑密封的漏泄損失	43
§ 18 透平的內效率	46
§ 19 透平的有效功率和耗氣(汽)率	47
§ 20 透平流程的實驗	47
第四章 船舶透平的变动工况和特性曲綫	50
§ 21 耗氣(汽)量对多級透平熱降分布的影响	51
§ 22 級的初終參考數对級的流量的影响	52
§ 23 变动工况对透平效率的影响	53

§ 24 透平的速度特性	53
第五章 透平的热力計算	56
§ 25 基本概念	56
§ 26 單級透平的計算方法	59
§ 27 柴油机增压透平的計算特点	65
§ 28 多級透平的計算方法	68
第二篇 船舶透平的結構	
第六章 透平的流程	70
§ 29 噴管和隔板	70
§ 30 工作葉片和導向葉片	80
§ 31 流程的型式	86
第七章 轉子	88
§ 32 轉輪型轉子	88
§ 33 轉鼓型轉子	91
第八章 固定部分	92
§ 34 气(汽)缸	92
§ 35 噴管箱	98
§ 36 密封設備	100
§ 37 軸承	101
§ 38 燃氣透平的燃燒室	103
第九章 船舶透平的操縱及調節設備	106
§ 39 船舶蒸汽透平的操縱閥和噴管閥	106
§ 40 船舶自由活塞发生器燃气透平的正倒車操縱閥	109
§ 41 船舶燃气透平的燃油調節機構	110
§ 42 极限調節器和調速器	111
§ 43 調壓器	114
第十章 船舶透平的实例	115
§ 44 蒸汽透平	115
§ 45 燃氣透平	120

引 言

透平是一种先进的动力机械，它已經愈来愈为交通运输业所重視。这主要有两方面的原因：首先，透平在短短的实践中就已表明了自己的許多显著优点，如形体小、结构好、重量輕、运转平稳、可应用各种燃料、维修費用較少①等等；其次，透平的潜力还未得到充分发挥，效率有待繼續提高。

蒸汽透平在巨型海船上的优越地位是世界所公認的，然而，这并不排斥大功率蒸汽透平将随参数的提高，系統和結構的改善而精益求精。在中小功率的沿海船舶及内河船舶上，蒸汽透平由于效率无法与活塞式內燃机匹敌而未能得到推广，但其效率仍可借改善系統和结构、提高参数、采用单缸带动多个可变螺矩螺旋桨等方法予以提高，以便为产煤地区采用中小功率的蒸汽透平作为船舶主机創造有利条件。据苏联对一系列新設計的内河頂推船的試驗證明，2400馬力的蒸汽透平内河頂推船的营运成本甚至比同馬力的柴油机頂推船低20~25%②。由此可見，在我国沿海和长江适当采用中小功率的蒸汽透平船还是可以考虑的。

燃气透平在船上的应用还处在試驗阶段，目前存在的主要問題是效率低、寿命短。倘若耐高温材料和冷却方法获得完滿解决，燃气初溫提高至 1200°C 时，其效率即能超过低速柴油机的水平。而燃烧煤粉、消除积炭和腐蚀等問題研究成功后，燃气透平在我国河船上的应用可望出現一个崭新的局面。如能設計和制造出輕巧而又可靠的原子反应堆，那末，透平在船舶上的应用必将获得空前的发展。苏联列宁号原子能破冰船不久前的試航成功就标志着这一天已經指日可待。我国的透平制造业虽然解放之后才开始兴建，但在不到十年的時間內，已經得到了相当的发展。

处在我国这种史无前例的大跃进年代，我們必須高瞻远瞩，注視我們时代的飞跃发展，探索发展中的新生事物，以便投身于轟轟烈烈的技术革命，为改造旧有设备，創制和掌握材料省、重量輕、效率高、成本低、寿命长、使用灵活的新型船机而献出全部热情和智慧。

附注

①参考下列各表：

400/800馬力河船主机主要性能

表 1

船型	船重	主辅机总重	制造成本	营运費用	耗油率	
					燃油/马力时	滑油/马力时
	吨	吨	%	%	每马力昼夜	公斤/马力时
柴油透平电动船	261.4/436.2	30.5/46.6	102/100.3	101.2/98.5	0.280/0.260	0.84/0.73
自 动	283.7/474.4	41.3/64.7	110/108	112.3/108	0.500/0.470	1.5/1.3
动 柴油机船	255.5/426.7	26.8/41.9	100/100	100/100	0.195/0.193	13.6/13.5
驳 柴油电动船	263.4/440.6	33.4/53.6	106.5/106	109.0/108.5	0.218/0.212	15.2/14.8
船 煤气机船	289.6/486.7	44.1/69.5	114/111.3	120/120	0.535/0.520	24.0/23.0
拖 柴油透平船	259.8/431.7	29.5/44.5	102.3/100.5	95.2/92.5	0.251/0.237	0.76/0.71
船 煤气透平电动船	127.5/186.7	40.2/63.3	79.2/77	88.5/81.3	0.500/0.470	1.5/1.3
拖 蒸汽机船	185.8/275.5	55.3/83.5	100/100	100/100	0.850/0.750	3.0/3.0
船 煤气机船	134.6/205.7	43.0/68.1	84.5/83.3	94.5/93.0	0.535/0.520	24.0/23.0
煤气电动船	149.7/226.6	52.5/84.8	95.2/94.5	103/97	0.585/0.520	24.0/23.0

各式主机的重量和尺寸特性

表 2

主机型式	功率 (马力)	总容积 (米 ³)	总重量 (吨)	容积功率 (马力/米 ³)	单位重量 (公斤/马力)
T型低速柴油机装置	3,240/4,860	117/153	98/141	27.7/31.8	30.2/29
V型高速增压(60%)柴油机装置	2,500/5,000	51/92.5	52.5/92	49.0/54.0	20.9/18.4
自由活塞发生器透平装置 (包括所有辅助设备)	1,000/5,000	14.5/61.5	20.5/78.5	71.0/81.3	20.5/15.7

1200马力顶推船营运成本

表 3

主机型式	柴油机	煤气机	蒸汽机	蒸汽透平	燃气透平
营运成本	100	122	136	117	121

10000吨干货船营运成本

表 4

耗费项目	蒸汽透平	柴油机	
		低速	高速
船员工资	100	100	100
航行耗費	100	100	100
折旧提成	100	142—162	136
修理費用	100	136—155	130.5
供应物資	100	119—136	114.5

10000吨(13000马力)干货船制造成本

表5

主机型式 制造成本	蒸汽透平	低速柴油机			高速柴油机
	2只鍋爐 1台主机	1台主机	1台主机 (增压)	1台主机 (增压)	2台主机
船	人民币(元)	23,000,000	31,700,000	27,800,000	29,000,000
体	百 分 比	100.0	136.0	119.1	124.6
船	人民币(元)	8,170,000	16,110,000	13,150,000	14,120,000
机	百 分 比	100.0	197.5	161.2	172.6
					150.7

②参看苏联“河运”杂志，1956，№3。

符 号 索 引

A ——功的热当量, $A = \frac{1}{427}$ 仟卡/公斤米	h_{as} ——工作叶片的分配热降, 仟卡/公斤
a ——音速, 米/秒	h_u ——級的輪周热降, 仟卡/公斤
a_k ——导向器最小截面处的音速, 米/秒	h_i ——級的內热降, 卡仟/公斤
b ——叶片弦长	h_e ——导向器出口高度
C_o ——透平入口的工質絕對流速, 米/秒	i ——工質的热焓 仟卡/公斤
C_1 ——导向器出口的工質絕對实际流速, 米/秒	k ——工質的絕热指数
C_{lt} ——导向器口出口的工質絕對理想流速, 米/秒	l ——叶片的高度
C_k ——工質的临界流速, 米/秒	m ——气体分子量
C_a ——工質流速的軸向分速, 米/秒	M ——馬赫数
C_u ——工質流速的周向分速, 米/秒	M_u ——工質对叶輪的作用力矩, 公斤米/公斤/秒
C_p ——工質的定压比热, 仟卡/公斤 $^{\circ}\text{C}$	N_e ——透平的有效效率, 馬力
C_v ——工質的定容比热, 仟卡/公斤 $^{\circ}\text{C}$	N_i ——透平的內功率, 馬力
D_{cp} ——叶輪平均直径, 米	N_B ——鼓风损失, 馬力
D_e ——透平的耗气率, 公斤/馬力时	N_m ——轉輪摩擦损失
f ——导向器或工作叶片的通路面积	n ——透平轉速, 轉/分
g ——重力加速度, 米/秒 2	P_1 ——导向器入口压力; 透平进气压力, 公斤/米 2
G ——工質流量, 透平耗气量, 公斤/秒	P_m ——透平前的滞止压力, 公斤/米 2
G_y ——工質的漏泄量, 公斤/秒	P_k ——临界压力, 公斤/米 2
H_a ——透平的理想分配热降, 仟卡/公斤	P_z ——透平背压, 公斤/米 2
H_o ——透平的实际分配热降, 仟卡/公斤	P_u ——輪周力, 公斤/公斤/秒
H_i ——透平的內热降, 仟卡/公斤	Q_B ——重载热量, 仟卡/公斤
h_a ——級的分配热降, 仟卡/公斤	q_a ——余速损失, 仟卡/公斤
h_{ad} ——导向器的分配热降, 仟卡/公斤	q_B ——鼓风损失, 仟卡/公斤

q_d	导向器中的损失, 仟卡/公斤	Z	透平級數; 曲徑密封縫隙數
q_e	叶片冷却损失, 仟卡/公斤	α_1	導向器流出角
q_s	叶片中的损失, 仟卡/公斤	α_2	工質流出工作叶片絕對速度的 方 向角
q_n	驅氣损失, 仟卡/公斤	β_1	工質流入工作叶片相對速度的 方 向角
q_x	湿汽损失, 仟卡/公斤	β_{1n}	工作叶片的入口角
R	重热系数	β_2	工作叶片的流出角
R_e	雷諾数	γ	工質的重度, 公斤/米 ³
S	爐焰叶片寬度	δ	導向器斜切口處的氣流偏轉角
T_1	導向器入口溫度; 透平進氣溫度, °K	ε	進氣度
T_{1n}	透平進口滯止溫度, °K	ζ_B	鼓風損失系數
t	叶栅节距	ζ_n	驅氣損失系數
t_1	導向器入口溫度; 透平進氣溫度, °C	ζ_x	濕汽損失系數
u	輪周速度, 米/秒	η_e	透平有效效率
V	工質比容, 米 ³ /公斤	η_i	級的內效率
W_1	工質流入工作叶片的實際相對速 度, 米/秒	η_{it}	透平內效率
W_{1t}	工質流入工作叶片的理想相對速 度, 米/秒	η_u	輪周效率
W_2	工質流出工作叶片的實際相對速 度, 米/秒	ν	速度比
W_{2t}	工質流出工作叶片的理想相對速 度, 米/秒	ρ	反動度
		φ	導向器速度系數
		ψ	葉片速度系數
		β_k	臨界壓力比

第一篇 透平原理

第一章 初步概念

§ 1 船舶透平装置的类型

船舶透平装置因工質的不同而区分为：

1. 蒸汽透平装置（图 1）；

2. 燃气透平装置（图 2）；

3. 自由活塞发生器燃气透平装置（图 3）；

其中蒸汽透平装置的循环与蒸汽机装置的相似；燃气透平装置的循环又有开式和闭式之分：

1) 开式燃气透平装置——压气机将吸自大气的空气压至燃烧室与雾化燃油混合燃烧所得燃烧产物经透平作功后排入大气。

2) 闭式燃气透平装置——作为工質的空气在压气机中提高压力，在空气鍋爐中从燃料（与工質隔絕）获得热量，经透平作功后排至冷却器冷却，冷却后进入压气机。可見闭式燃气透平装置的循环与蒸汽透平装置的并无什么原則性的差

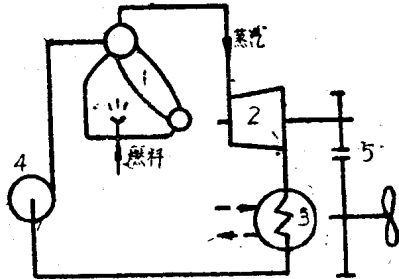


图 1 蒸汽透平裝置

1. 蒸汽鍋爐；2. 蒸汽透平；3. 冷凝器；
4. 給水泵；5. 減速齒輪

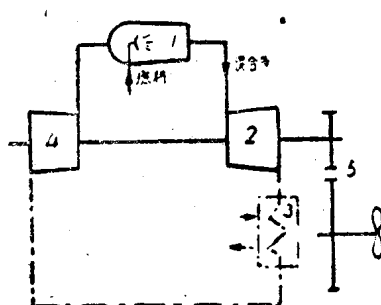


图 2 燃气透平裝置

1. 燃燒室（或空气鍋爐）；2. 透平；
3. 空气冷却器；4. 壓氣機；5. 減速齒
輪

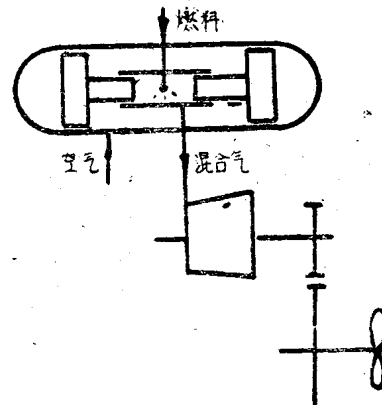


图 3 自由活塞发生器燃气透平裝置

別。

自由活塞发生器燃气透平装置也是开式装置，它的特点是压气机与燃烧室构成一体，形成所謂自由活塞发生器，为透平不断提供工質。

各种装置的位能都在透平中轉变为机械功，但不同工質获得位能（提高压力和溫度）的場所各有不同：蒸汽透平借給水泵提高压力，在蒸汽鍋爐中获得热量；燃气透平借压气机提高压力，在燃烧室或空气鍋爐中获得热量。

工質的压力和溫度的提高以及膨胀作功等工作在透平装置中由专业化的机械分別担任，而在活塞式发动机（內燃机）装置中，则在气缸內由“多面手”活塞一手包办。故前者連續作功，工作稳定；而后者如四冲程柴油机仅四分之一的時間作功，四分之三的時間忙于吸气、压气和排气，因此工質不能連續不断地流动，同一地点的参数又时刻变化，不仅工作不稳定，而且也难以获得較大的功率。

S 2 船舶透平的結構特点

各种透平装置的透平在结构上均具有共同的特点。

1. 透平的主要部分有：

1) 轉子——轉子有轉輪型和轉鼓型的区别，但在轉子的外圓柱面上都装有工作叶片。

2) 固定部分——由气（汽）缸、內套、隔板、密封設備、軸承等組成。在气缸或內套或隔板中装有導向器^①。

3) 流程——流程是工質流过的部分，主要包括導向器、工作叶片、进排气管节等設備。

4) 倒車部分——倒車部分亦由流程、轉子等部分組成，专司倒車之職責。

2. 透平的主要型式有：

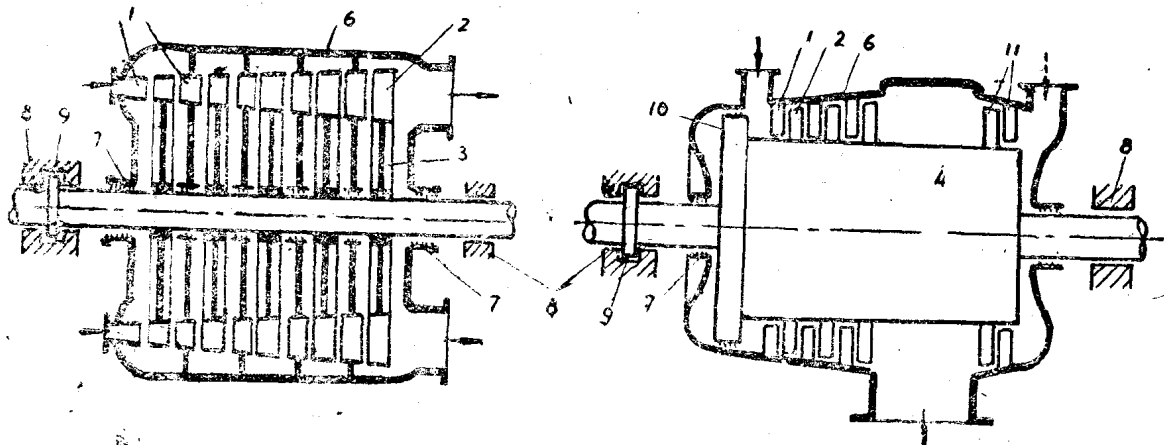


图 4 透平的主要部分（軸流式）

A.冲动式透平

B.反动式透平

1. 导向器；2. 工作叶片；3. 轉輪；4. 轉鼓；5. 隔板；6. 汽（气）缸；7. 密封設備；
8. 支持軸承；9. 止推軸承；10. 平衡活塞；11. 倒車級

^①冲动式透平的導向器普通称作噴管，反動式透平的導向器普通称作導向叶片。

1) 按工質流向可區分为：

- (1) 軸流式——工質沿轉子軸向流动(图4)；
- (2) 輻流式①——工質沿轉輪輻向流动(图5)。

2) 按工作原理可區分为：

(1) 冲动式——通常軸流冲动式透平的轉子做成轉輪型，導向器裝在氣缸及隔板中(图4,a)。

(2) 反动式——通常軸流反动式透平的轉子做成轉鼓型，導向器裝在氣缸或內套內(图4,B)。

輻流式透平无冲动式和反动式之区别。冲动式和反动式透平的工作原理将在下一章中闡述。

§ 3 透平的工作原理

透平內工質所流过的部分叫做流程，流程主要由每圈導向器和每圈工作叶片依次交替組成。一圈導向器和一圈工作叶片所形成的单元叫做透平級。工質的位能就在透平級中轉变为机械功。

工質在透平級中不象在活塞式发动机的氣缸中那样，直接依靠工質的位能推動活塞作功，而是将位能轉变为动能，依靠动能所产生的冲动力和反动力推動叶輪旋轉。

具有相当位能的工質流过導向器时，压力和溫度不断下降，而速度則相应的增大，即位能不断轉变为动能。

假如当工質进入工作叶片后，位能不再减小，即压力和溫度保持不变，则工質在工作叶片內的流动速度并不增加，即位能不再轉变为动能。可是已經在導向器中获得相当动能的高速工質，流經工作叶柵的曲線形槽道时，却产生了离心慣性力，推動叶輪旋轉(图6)，即作出了机械功。根据能量守恒定律，工質在工作叶柵內的位能既然保持不变，那么，它要作出机械功，勢必喪失与所作机械功相當的动能，因此，实际上工質流出工作叶柵时的絕對速度，与流入工作叶柵时的絕對速度相比，显然已經降低了許多。这种仅仅依靠工質对叶輪的冲动力(即离心慣性力)作功的透平級叫做純冲动級。

假如当工質流入工作叶柵后，位能繼續減小，即压力和溫度繼續降低，则工質在工作叶柵內的速度理应繼續增加，即位能繼續轉变成动能。工質在其运动方向的速度大小之所以能够增加，还必須克服它本身質量为維持等速的慣性力，这个慣性力的方向恰好与工質流速的方向相反(故称为反动力)，它与工質为維持定向运动的离心慣性力同时作用在工作叶片上，迫使工作叶片繞轉子軸綫旋轉(图7)。这种既以冲动力(即被迫改变流速方向而产生的慣性力)、又以反动力(即被迫改变流速大小而产生的慣性力)作功的透平級叫做反动級。

①本書只介紹船舶上所采用的向心輻流式透平。

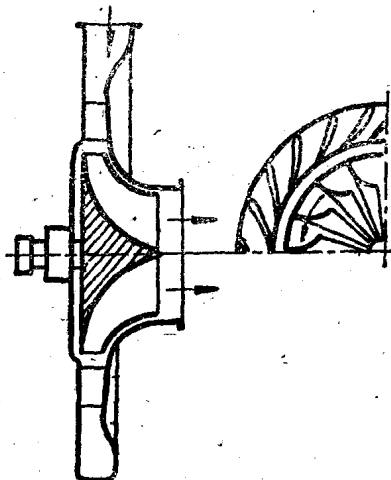


图5 輻流式透平

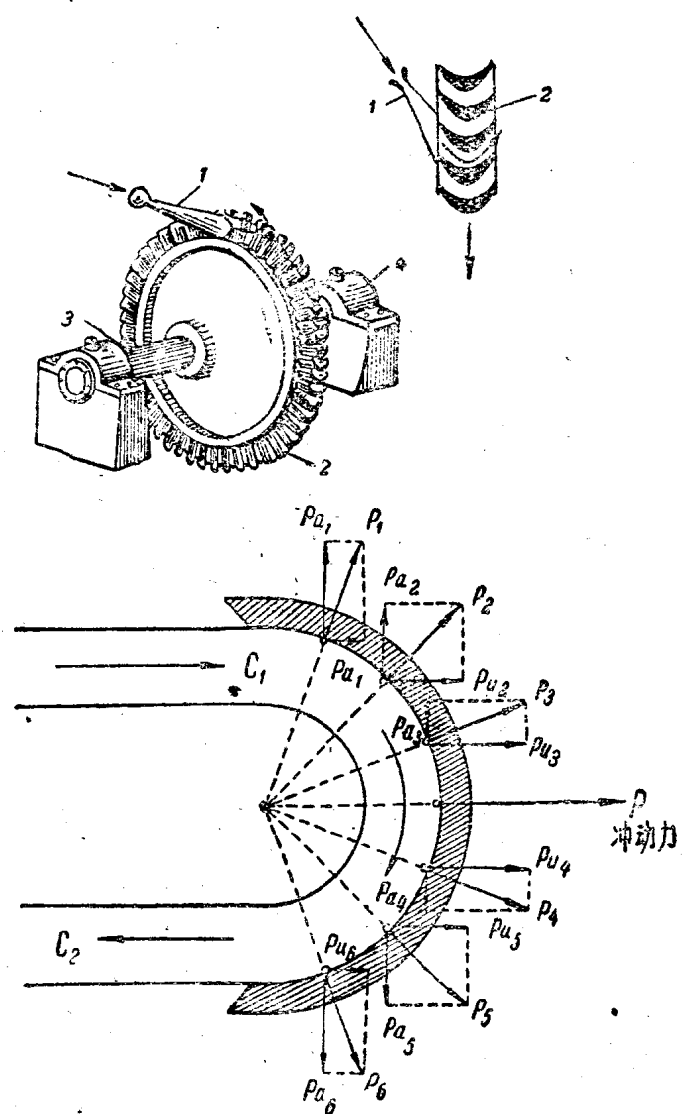


图 6 冲动式透平原理

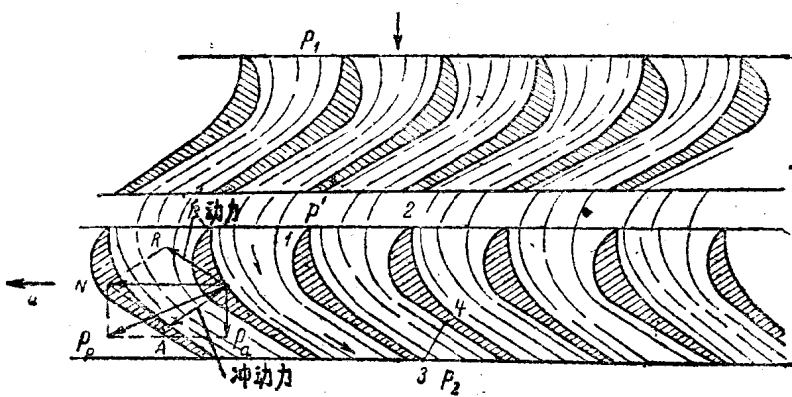


图 7 反动式透平原理

第二章 工質在透平級中的流动原理

§ 4 工質在導向器中的流动

導向器的首要任务是，使工質的熱能变为动能。我們的目的則是研究这些能量和表达这些能量的参数（压力 P 、溫度 T 、比容 V 、速度 C 等）的变化規律以及这些参数与導向器的几何尺寸（通路面积 f 等）之間的关系。具体來說，我們打算解决两个主要問題：

1、確定工質在導向器內、特別是導向器出口處的流动速度。后面这个速度就是往后工質在工作叶片中以冲动力作功的因素。

2、確定導向器的通路截面积、特別是喉部截面（如果有的話）和出口截面的尺寸。只有当導向器的尺寸做得合理时，才有可能保証工質的位能有效的轉变为动能。

1) 工質的流动速度：

采用下列符号表示工質在導向器各部分所具有的能量和参数：

名 称	單 位	導向器入口截面	導向器內任意截面	導向器出口截面
压 力	公斤/米 ²	$p_1 = \frac{RT_1}{V_1}$	$p = \frac{RT}{V}$	$p_2 = \frac{RT_{2t}}{V_{2t}}$
溫 度	°K	T_1	T	T_{2t}
比 容	米 ³ /公斤	V_1	V	V_{2t}
速 度	米/秒	C	C	C_{1t}
热 焓	仟卡/公斤	$i_1 = Cp_1 T_1$	$i = Cp T$	$i_{2t} = Cp_{2t} T_{2t}$
动 能	公斤米	$C_o^2/2g$	$C^2/2g$	$C_{1t}^2/2g$

并設工質在導向器內流动时沒有摩擦等損失以及与外界并无能量的交換。

根据能量守恒定律，工質在各个截面所具有的总能量應該相等，即：

$$i_1 + \frac{AC_o^2}{2g} = i + \frac{AC^2}{2g} = i_{2t} + \frac{AC_{1t}^2}{2g} = \text{常数}, \text{ 其中功的热当量 } A = \frac{1}{427} \text{ 仟卡/公斤米}.$$

由于工質流經導向器时压力、溫度不断下降，即焓 i 不断減小，故速度 C 則不断增加，流至出口时，

$$C_{1t} = \sqrt{\frac{2g}{A} (i_1 - i_{2t}) + C_o^2}, \text{ 米/秒} \quad (2-1)$$

如将 $i = \frac{k}{k-1} PV$ 代入，并考慮 $PV^k = \text{常数}$ ，則

$$C_{1t} = \sqrt{2g \frac{k}{k-1} P_1 V_1 \left[1 - \left(\frac{P_2}{P_1} \right)^{\frac{k-1}{k}} \right] + C_o^2}, \text{ 米/秒} \quad (2-1')$$

工質初速 C 。一般較小，常可略去不計。公式(2-1)中的等熵焓差($i_1 - i_{2t}$)利用焓熵图来求极为簡便(图8、9)。

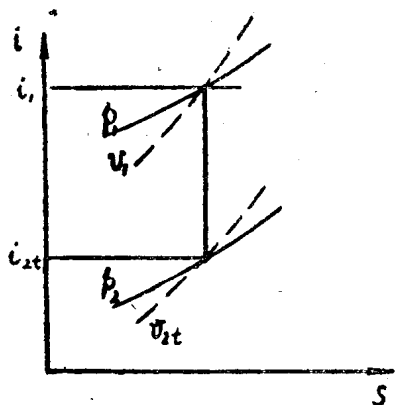


图8 水蒸汽的焓熵图

i ——焓，仟卡／公斤；
 v ——比容，米³／公斤；
 s ——熵，仟卡／公斤·°C

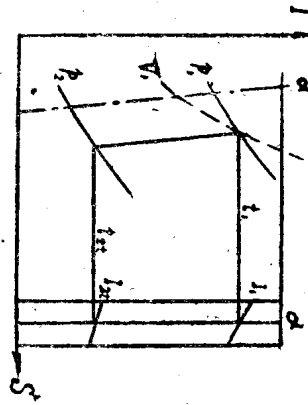


图9 混合气的焓熵图

i ——莫尔焓，仟卡／莫尔；
 s ——莫尔熵，仟卡／莫尔·°C；
 V ——莫尔容积，米³／莫尔；
 a ——余气系数

混合气(燃烧产物)的絕热指数 k 值可查图10。各种工質的 k 的近似值为：

工 質	过 热 蒸 汽	飽 和 蒸 汽	湿 蒸 汽	空 气
k	1.3	1.135	$1.035 + 0.1X$	1.4

其中 X 为蒸汽的干度。

2) 导向器的通路截面：

根据质量守恒定律，流过导向器任意截面的流量

$$G = \frac{f C}{v} = \text{常数} \quad (2-2)$$

其中 f 为导向器的通路截面。将该截面上的速度

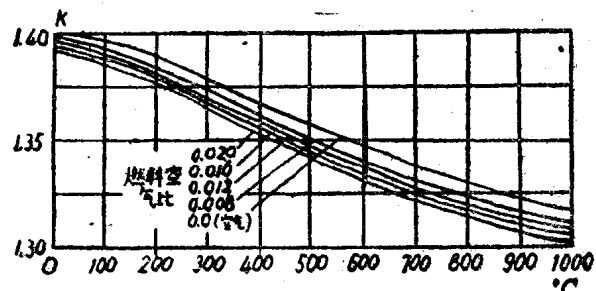


图10 混合气的絕热指数

$$C = \sqrt{2 g \frac{k}{k-1} p_1 v_1 \left[1 - \left(\frac{p}{p_1} \right)^{\frac{k-1}{k}} \right]} \quad (2-3)$$

及比容

$$v = \left(\frac{p_1}{p} \right)^{\frac{1}{k}} v_1$$

代入公式(2-2)：

$$G = f \sqrt{2g \frac{k}{k-1} \frac{p_1}{v_1} \left[\left(\frac{p}{p_1} \right)^{\frac{2}{k}} - \left(\frac{p}{p_1} \right)^{\frac{k+1}{k}} \right]} \quad (2-4)$$

即 $G = f \cdot \Pi \left(\frac{p}{p_1} \right)$ 。

由此可見：

(1) 当工質在導向器中流动时，函数 $\Pi \left(\frac{p}{p_1} \right)$ 随压比 $\frac{p}{p_1}$ 的不断下降而变化。为使流量 G 保持常数，通路截面 f 必作相应的变化。

(2) 当 $\frac{p}{p_1} = 0$ (即 $p = 0$ 处) 和 $\frac{p}{p_1} = 1$ (即 $p = p_1$ 处，即入口处) 时，函数 $\Pi \left(\frac{p}{p_1} \right) = 0$ 。为保持 $G = \text{常数}$ ， f 必趋向无穷大。根据函数 $\Pi \left(\frac{p}{p_1} \right)$ 和 f 的連續关系，在 $\frac{p}{p_1} = 0$ 和 1 之間， f 必有一个最小值与 $\Pi \left(\frac{p}{p_1} \right)$ 的一个最大值相对应 (图 11)。因此，为保证工質在初压为 p_1 ，背压为零这样大的压降范围内連續的膨胀和流动，導向器的通路截面必須先縮小，后扩大，其中还有一个过渡的最小截面 (又称喉部截面)。

这种截面先縮小、后扩大的導向器就是通常的所謂縮放噴管 (扩张噴管) 或拉伐尔噴管。

(3) 如果工質只需从初压 p_1 膨脹到 $\geq p_k$ (設 $p_k = \beta_k p_1$) 的背压，那末，導向器就不需做出扩张的部分了。通常的漸縮噴管和導向叶片都属于这类導向器。

3) 工質的臨界参数和臨界速度：

縮放噴管的最小截面是工質特性发生变化的一个轉折点，即工質在最小截面前后的特性具有根本性的差別。因此，我們把最小截面上的参数定为臨界参数。

(1) 最小截面上的压力即臨界压力 p_k 是选用導向器型式的准繩。从图11可以見到，工質在導向器中膨胀終了的背压：

$p_2 < p_k$ 时，導向器的截面应先收縮，后扩张；

$p_2' \geq p_k$ 时，導向器的截面只需收縮，不用扩张。

換句話說：如果希望工質从初压 p_1 膨脹到低于 p_k 的背压 p_2 ，則应采用縮放噴管；如果只需从 p_1 膨脹到 $\geq p_k$ 的背压 p_2' ，則应采用漸縮噴管或導向叶片。因此，要选择導向器的型式，应先確定 p_k 的数值。

既然已知 p_k 发生在最小截面 $f_{\text{最小}}$ 上，那么，为保持

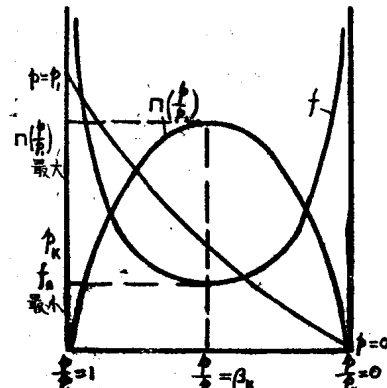


图11 导向器通路截面与工質
压力的相依变化規律

$$G = f \sqrt{2g \frac{k}{k-1} \frac{p_1}{v_1} \left[\left(\frac{p}{p_1} \right)^{\frac{2}{k}} - \left(\frac{p}{p_1} \right)^{\frac{k+1}{k}} \right]} = \text{常数},$$

当 f 为最小时 (即 $f = f$ 最小), 函数

$$\Pi \left(\frac{p}{p_1} \right) = \sqrt{2g \frac{k}{k-1} \frac{p_1}{v_1} \left[\left(\frac{p}{p_1} \right)^{\frac{2}{k}} - \left(\frac{p}{p_1} \right)^{\frac{k+1}{k}} \right]}$$

必为最大。这时的 p 显然就是临界压力 P_k 。满足函数 $\Pi \left(\frac{p}{p_1} \right)$ 为最大的条件是:

$$\frac{d}{dp} \Pi \left(\frac{p}{p_1} \right) = 0$$

即

$$\frac{2}{k} \left(\frac{p}{p_1} \right)^{\frac{2}{k}-1} - \frac{k+1}{k} \left(\frac{p}{p_1} \right)^{\frac{k+1}{k}-1} = 0$$

将 $P = P_k$ 代入并化简, 得:

$$\frac{P_k}{P_1} = \left(\frac{2}{k+1} \right)^{\frac{k}{k-1}} = \beta_k \quad (2-5)$$

由此可见, 临界压力 P_k 只与初参数 (P_1) 和工质状态 (k) 有关。各种工质的临界压比 β_k 可根据 k 值计算出来:

工 质	二原子气体	过热蒸汽	饱和蒸汽	湿 蒸 汽
绝热指数 k	1.4	1.3	1.135	$1.035 + 0.1X$
临界压比 β_k	0.528	0.5457	0.5774	$\lambda(X)$

(2) 最小截面上的工质速度即临界速度 C_k 是一个具有特征性的速度。先确定它的大小, 然后说明它的特征。

将最小截面的条件即公式 (2-5) 代入公式 (2-3) 即得临界速度:

$$C_k = \sqrt{2g \frac{k}{k-1} p_1 v_1 \left[1 - \frac{2}{k+1} \right]} = \sqrt{2g \frac{k}{k+1} p_1 v_1} \quad (2-6)$$

即 $C_k = k \sqrt{p_1 v_1} \quad (2-6')$

所以, 临界速度 C_k 也取决于工质的初参数和状态。

各种工质的状态系数 K 为:

工 质	二原子气体	过热蒸汽	饱和蒸汽
状态系数 k	3.38	3.33	3.23